

12

И Н С Т И Т У Т
ЯДЕРНОЙ ФИЗИКИ СОАН СССР

ПРЕПРИНТ И ЯФ 77-17

Г.И.Димов, Г.Е.Деревянкин, В.Г.Дудников

СТОМИЛЛИАМПЕРНЫЙ ИСТОЧНИК
ОТРИЦАТЕЛЬНЫХ ИОНОВ ВОДОРОДА
ДЛЯ УСКОРИТЕЛЕЙ

Новосибирск

1977

СТОМИЛЛИАМПЕРНЫЙ ИСТОЧНИК ОТРИЦАТЕЛЬНЫХ ИОНОВ
ВОДОРОДА ДЛЯ УСКОРИТЕЛЕЙ

Г.И.Димов, Г.Е.Деревянкин, В.Г.Дудников

А Н Н О Т А Ц И Я

Разработан поверхностно-плазменный источник ионов H^- для ускорителей. Импульсная интенсивность сформированного пучка до $0,1 \pm 0,15$ А, длительность импульсов 100 ± 300 мксек, частота следования до 100 Гц, энергия ионов до 30 КэВ, расход водорода 1 см^3 Торр за импульс, расход цезия 0,1 г за 100 часов работы. Нормализованные эмитансы сформированного пучка во взаимно-перпендикулярных направлениях $4 \cdot 10^{-5} \text{ см} \cdot \text{рад}$ х $2 \cdot 10^{-4} \text{ см} \cdot \text{рад}$ в режиме с флуктуациями параметров разряда и уменьшаются до значений $3 \cdot 10^{-6} \text{ см} \cdot \text{рад}$ х $2 \cdot 10^{-5} \text{ см} \cdot \text{рад}$ при устранении флуктуаций.

В Институте ядерной физики СО АН СССР разработан поверхностно-плазменный источник ионов H^- , предназначенный для мощных линейных ускорителей (мезонных фабрик) и для циклических ускорителей с перезарядной инъекцией протонов, в особенности для бустеров протонных синхротронов. Параметры источника (в скобках указаны номинальные значения): частота следования импульсов до 100 (100) Гц, длительность импульсов тока 100+300 (200) мксек, ток в пучке ионов H^- на выходе до 150 (100) мА, энергия ионов 10+30 (20) КэВ.

Источник, как это показано на рис.1, монтируется на металлическом фланце (1) ускорительной трубки форинжектора (2) в цилиндрическом экране (3). На штанге (4) к фланцу подвешивается ярмо магнита (5). Магнит возбуждается охлаждаемыми водой обмотками, помещенными в вакуумно-плотные металлические корпуса (6). Магнит является наиболее массивной частью (вес 40 кг.). Непосредственно источником ионов H^- является газоразрядная камера (7), которая укрепляется на магните через высоковольтные изоляторы (8). Пучок ионов H^- вытягивается из эмиссионной щели газоразрядной камеры с помощью электродов (9), установленных на магните. При этом газоразрядная камера находится под отрицательным потенциалом до 30 кВ. Пучок ионов H^- проходит между дуговыми полюсами (10), где он поворачивается магнитным полем на 90° , и выходит через отверстия в ярме (5) и экране (3) в 1-й ускоряющий зазор трубки (2). Радиус средней дуговой траектории 7 см. Зазор между полюсами на этом радиусе 3 см. Дуговые полюса формируют магнитное поле с показателем радиального спада $n=1$. Благодаря этому наряду с сепарацией пучка в этом поле осуществляется одномерная фокусировка пучка в плоскости, параллельной полю. Необходимость в такой фокусировке связана с повышенной расходимостью пучка в вытягивающем промежутке в этой плоскости; в плоскости, перпендикулярной полю, расходимость пучка близка к нулю. На входе в ускорительную трубку пучок ионов имеет примерно круглое сечение диаметром 1 см. У торцов дуговых полюсов (10) установлены малые прямоугольные полюса для формирования магнитного поля в области газоразрядной камеры. Номинальное поворотное магнитное поле на средней траектории ионов 2,9 кГс, в облас-

ти газоразрядной камеры около 1 кГс. Газоразрядная камера (7) собирается совместно с малыми полюсами и вытягивающими электродами (9) и как единый узел устанавливается на дуговых полюсах (10). Подвод водорода, охлаждающего воздуха, воды и напряжений к газоразрядной камере осуществляется через проходной изолятор во фланце (12). Поясом Роговского (II) осуществляется контроль тока в пучке ионов H^+ на выходе из источника. Откачивать водород из источника планируется через отверстия в цилиндрическом экране (3) и далее через ускорительную трубку. Среднее давление водорода в области пучка в источнике необходимо поддерживать вблизи значения 10^{-4} Торр. Необходимая скорость откачки водорода при этом давлении до 2000 л/сек.

Источник ионов H^+ был предварительно описан в /1/. С целью увеличения срока службы и улучшения ионно-оптических характеристик пучка конструкция источника была в значительной степени усовершенствована. На рис. 2 представлена усовершенствованная конструкция газоразрядной камеры с вытягивающими электродами. Газоразрядная ячейка типа Пеннинга монтируется в корпусе камеры (1), к которой приварена стенка с эмиссионной щелью (2). В корпус камеры вставляется анодная вставка (3), охватывающая молибденовый катод (4). В катоде имеется паз, параллельный эмиссионной щели, длиной 15 мм и шириной 5 мм. Через паз около его дна проходит перемычка анодной вставки шириной 4 мм. Нижняя свободная часть паза, примыкающая к эмиссионной стенке камеры, глубиной 2,7 мм является газоразрядной областью. Её объём $2,7 \times 5 \times 15 \text{ мм}^3$. Рабочая поверхность каждого из катодов, образуемых противоположными стенками паза, имеет площадь $2,7 \times 15 \text{ мм}^2$. Магнитное поле, формируемое полюсами (10) и выступами (II) направлено нормально к рабочим катодным поверхностям, а в вытягивающем промежутке вогнуто в сторону эмиссионной щели. Эмиссионная щель в стенке камеры (2) перпендикулярна магнитному полю, имеет размеры 0,5 мм x 10 мм; толщина её кромок 1 мм. В стенке (2) перед эмиссионной щелью сделана анодная выемка глубиной 1 мм.

Геометрия газоразрядной ячейки выбрана в соответствии с представлениями о принципах действия поверхностно-плазменных источников /2/ с учетом условий поджига и горения разряда и

продолжительности работы. Ионы H^+ , образующиеся на электродах за счёт вторичной эмиссии и отражения водородных частиц, поступают в анодную выемку с относительно высокой энергией. В результате перезарядки этих ионов на атомарном водороде в анодной выемке образуются медленные ионы H^+ , которые поступают через эмиссионную щель в вытягивающий промежуток.

Направление и расходимость вытягиваемого пучка в плоскости, параллельной магнитному полю, чувствительны к геометрии вытягивающего промежутка. Для поддержания неизменной геометрии пучка необходимы достаточно жесткая установка вытягивающих электродов (13) и эмиссионной стенки газоразрядной камеры (2) и ограничение их искажений, связанных с нагревом. Геометрия вытягивающего промежутка принята близкой к пирсовской; длина промежутка 1,5 мм, зазор между вытягивающими электродами 0,8 мм.

В номинальном режиме средняя мощность газового разряда составляет 250–300 вт. По измерениям /3/ 70–75% этой мощности выделяется на катоде. Катод охлаждается находящимся с ним в тепловом контакте охладителем (5), по которому пропускается вода. При этом температура катода поддерживается на уровне 600°C . Анод охлаждается воздухом, пропускаемым по каналам (14) в эмиссионной стенке камеры (2). Температура этой стенки поддерживается на уровне 100°C , что наряду с ограничением её теплового расширения обеспечивает оптимальное покрытие катодных поверхностей цезием и ограничивает выход паров цезия через эмиссионную щель в промежутки времени между газоразрядными импульсами.

Цезий подается в газоразрядную область по каналу в аноде по металлическому фитилю из подогреваемого контейнера с цезием (17). Расход цезия $\approx 0,1$ г на 100 часов работы источника. Водород подводится по каналам в перемычке анодной вставки в зазор между этой перемычкой и катодом. Благодаря тому, что место поступления водорода отделено от эмиссионной щели газоразрядной областью, в которой молекулы водорода эффективно ионизируются электронами, газовая эффективность источника достаточно высокая.

Напуск водорода осуществляется импульсами длительностью 200 мксек с помощью электромагнитного клапана /4/ с большим ресурсом работы (свыше 10^9 включений). Расход водорода определяется, в основном, объемом газоразрядной ячейки, необходимой для поджига разряда плотностью водорода и частотой импульсов. Расход водорода за импульс $\approx 1 \text{ см}^3 \text{ Торр}$.

Электропитание газоразрядной камеры и вытягивающего промежутка импульсное. На рис.3 представлены осциллограммы напряжений на разряде и вытягивающем промежутке и соответствующих токов. Напряжение на разряде близко к 100 В, ток разряда в номинальном режиме 100–120 А. Ток в цепи вытягивания 200+300 мА.

Приведенный микроперьянс пучка ионов H^- с номинальными параметрами достаточно высокий, около 1,5. Это означает, что для его проводки требуется очень жесткая фокусировка или компенсация отрицательного пространственного заряда пучка положительными ионами. Накопление положительных ионов в пучке за счет ионизации остаточного газа сопровождается гибелью части отрицательных ионов пучка. Поэтому с уменьшением времени компенсации за счет повышения плотности остаточного газа возрастает ослабление пучка. При давлении остаточного газа $5 \cdot 10^{-5}$ Торр наблюдаемое время компенсации пучка составляет десятки мксек, при этом выходной ток ионов H^- в пучке (в 25-ти см от эмиссионной цели) составляет 90–95% от тока вытягиваемых ионов H^- . При повышении давления до 10^{-4} Торр время компенсации уменьшается соответственно, а выходной ток падает до 80% от тока вытягиваемых ионов H^- .

Фазовый объем пучка на выходе зависит очень сильно от уровня и вида шумов в газовом разряде, а также от плотности газа в области пучка. Для используемого разряда в водороде с примесью цезия при пониженной плотности водорода и повышенной напряженности магнитного поля характерны хаотические флуктуации напряжения и тока разряда с частотами $10^5 + 10^7$ Гц. Уровень флуктуаций может составлять десятки процентов. При этом флуктуирует и интенсивность пучка вытягиваемых ионов H^- . При увеличении плотности водорода в разряде и уменьшении магнитного

поля сначала хаотические флуктуации переходят в гармонические колебания с частотой 17–18 МГц, а затем уменьшаются ниже регистрируемого уровня. Плотность водорода в разрядной камере, необходимая для реализации бесшумового режима, примерно в 1,5 раза выше плотности, необходимой для поджига разряда.

При наличии низкочастотных флуктуаций в разряде и давлении остаточного газа в области пучка в несколько раз ниже 10^{-4} Торр диаметр пучка ионов H^- на выходе увеличивается до 3,5 см, а его нормализованный эмиттанс достигает величины $4 \cdot 10^{-5}$ см.рад. $\times 2 \cdot 10^{-4}$ см.рад. (1-ое число относится к параллельному к магнитному полю направлению, 2-е – к перпендикулярному). При увеличении давления остаточного газа до величины $\approx 10^{-4}$ Торр эмиттанс пучка уменьшается в 1,5+2 раза по каждому направлению. При бесшумовом режиме разряда измеренный нормализованный эмиттанс пучка на выходе при номинальных параметрах равен $3 \cdot 10^{-6}$ см.рад. $\times 2 \cdot 10^{-5}$ см.рад. /5/. Распределение тока в выходном сечении пучка представлено на рис.4, из которого видно, что диаметр пучка близок к 1 см. Полный угловой разброс ионов H^- на выходе составляет 10^{-3} рад вдоль магнитного поля и 10^{-2} рад поперек магнитного поля. Соответствующие поперечные энергии на эмиссионной поверхности ≈ 5 и 1 эВ. Наблюдаемая зависимость фазового объема пучка ионов H^- от шумов в разряде и плотности газа в области пучка связана с флуктуациями эмиссионной поверхности и разбрасыванием ионов по углам на недокомпенсированных и перекомпенсированных участках пучка, образующихся вследствие флуктуаций его интенсивности. Возможно также возникновение неустойчивости скомпенсированного пучка.

Ресурсные испытания источника показали, что эрозия элементов газоразрядной камеры не приводит к заметному изменению его параметров в течение 300 часов непрерывной работы.

Л и т е р а т у р а

1. В.Г.Дудников, Труды 4-го Всесоюзного совещания по ускорителям заряженных частиц, М., 1975, том I, 323.
2. Ю.И.Бельченко, Г.И.Димов, В.Г.Дудников, ЖТФ, 45, 63(1975).
3. Ю.И.Бельченко, В.Г.Дудников, IV Всесоюзная конференция по взаимодействию атомных частиц с твердым телом, г.Харьков, 1976, часть 3, 180.
4. Г.Е.Деревянкин, В.Г.Дудников, П.А.Журавлев, ПТЭ, 1975, № 5, 168.
5. Г.Е.Деревянкин, В.Г.Дудников, В.С.Кленов, "Об ионно-оптических характеристиках пучков ионов H^+ , генерируемых поверхностно-плазменными источниками", Препринт ИЯФ СО АН СССР, Новосибирск, 1977.

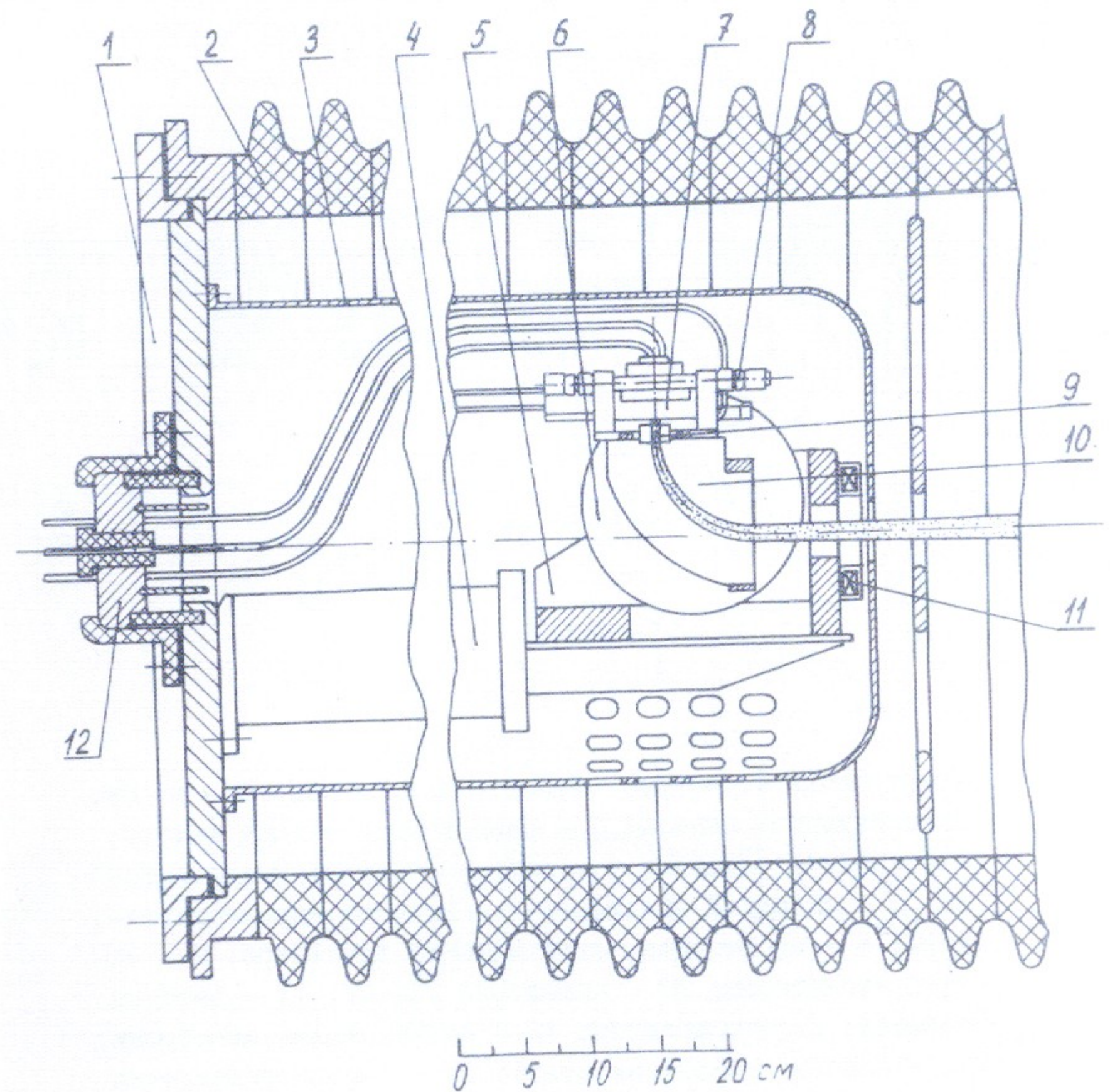


Рис. I. Конструкция источника. I - высоковольтный фланец ускорительной трубки; 2 - ускорительная трубка; 3 - внешний экран источника; 4 - опорная штанга; 5 - ярмо магнита; 6 - катушки магнита; 7 - газоразрядная камера; 8 - высоковольтные изоляторы; 9 - вытягивающие электроды; 10 - поворотные полюса магнита; 11 - пояс Роговского; 12 - проходной изолятор.

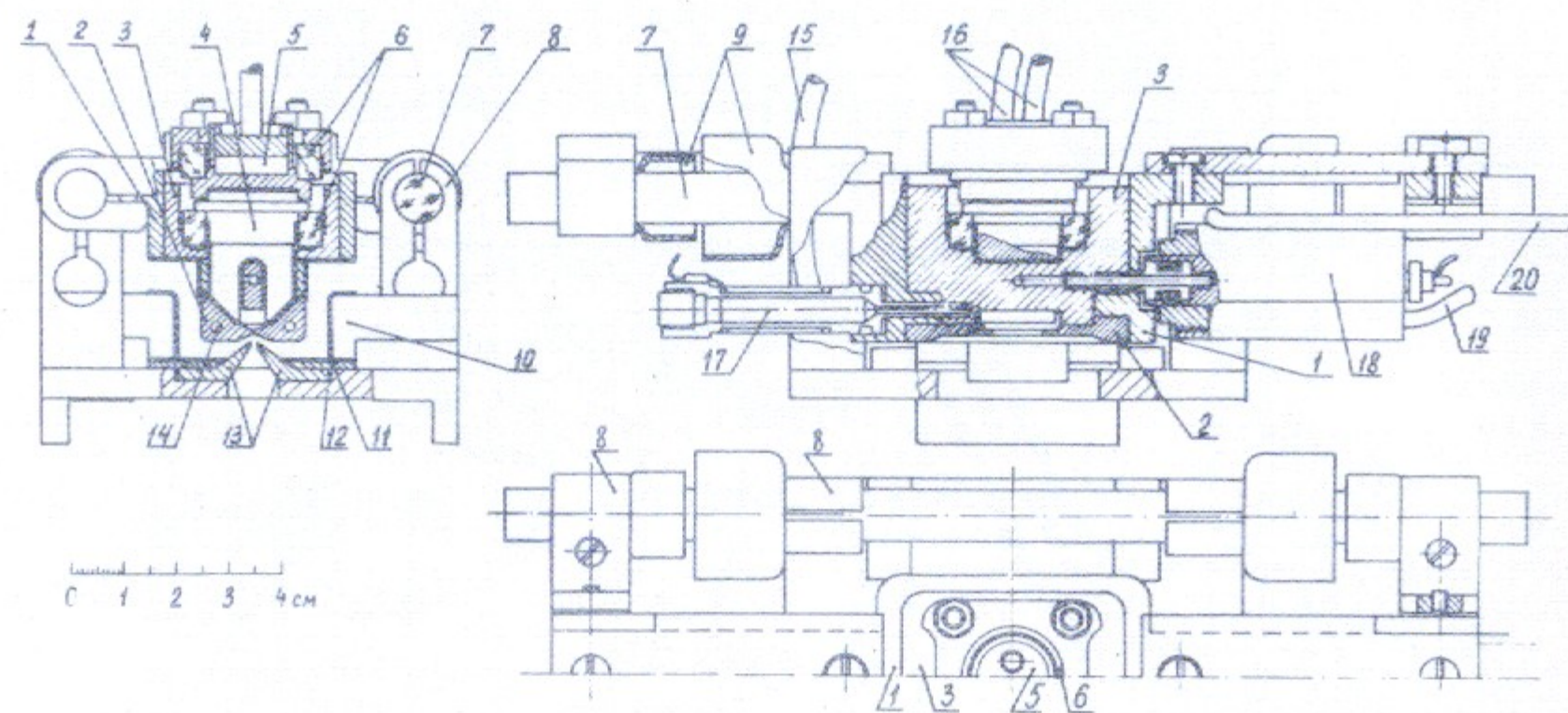


Рис.2. Конструкция источника отрицательных ионов. 1 - корпус газоразрядной камеры; 2 - эмиссионная стенка камеры; 3 - анодная вставка; 4 - катод; 5 - охладитель катода; 6 - катодный изолятор; 7 - высоковольтные изоляторы; 8 - кронштейны, охватывающие изоляторы; 9 - экраны изоляторов; 10 - магнитные полюса; 11 - выступы полюсов; 12 - основание; 13 - вытягивающие электроды; 14 - каналы охлаждения анода; 15 - трубки охлаждения анода; 16 - трубки охлаждения катода; 17 - цезиевый питатель; 18 - водородный клапан; 19 - подвод водорода; 20 - трубки охлаждения клапана.

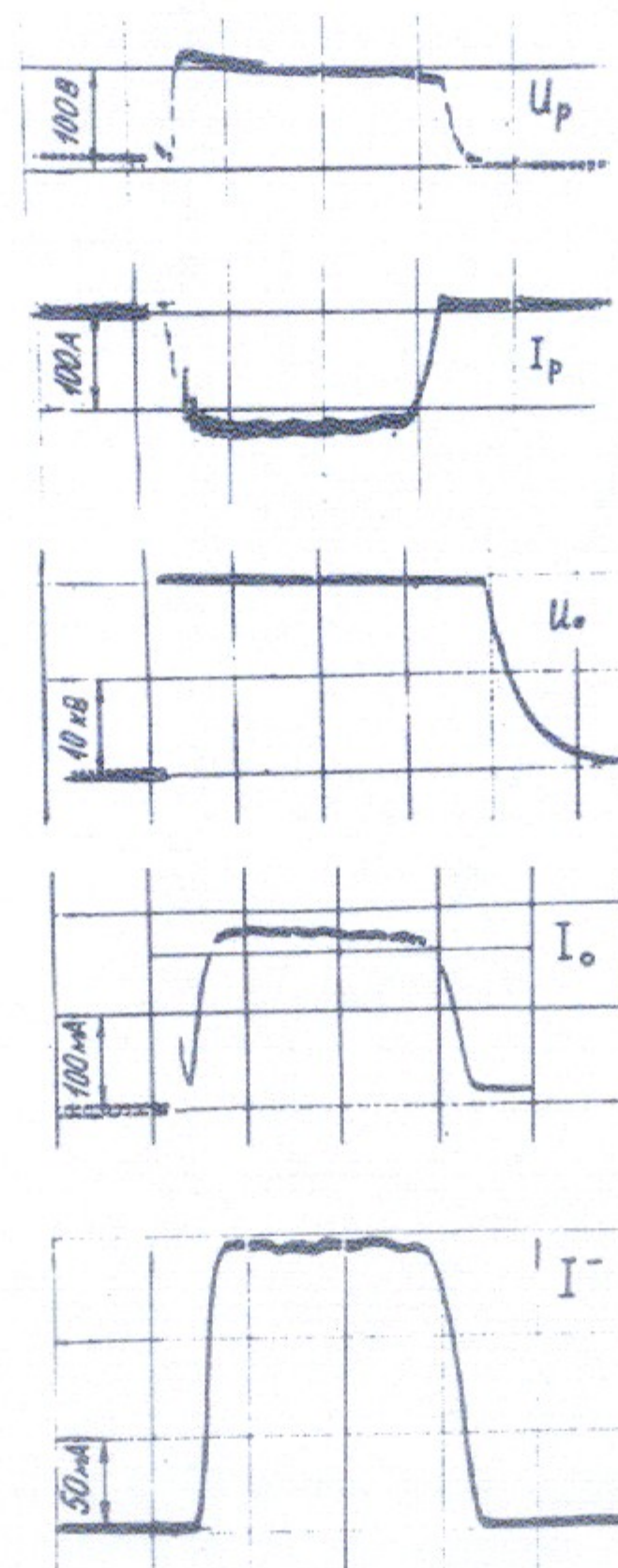


Рис.3. Осциллограммы: U_p - напряжение на газоразрядном промежутке; I_p - ток разряда; U_o - вытягивающее напряжение; I_o - ток в цепи вытягивания; I^- - ток в пучке ионов H^- на выходе источника. По горизонтали время 100 мксек на деление.

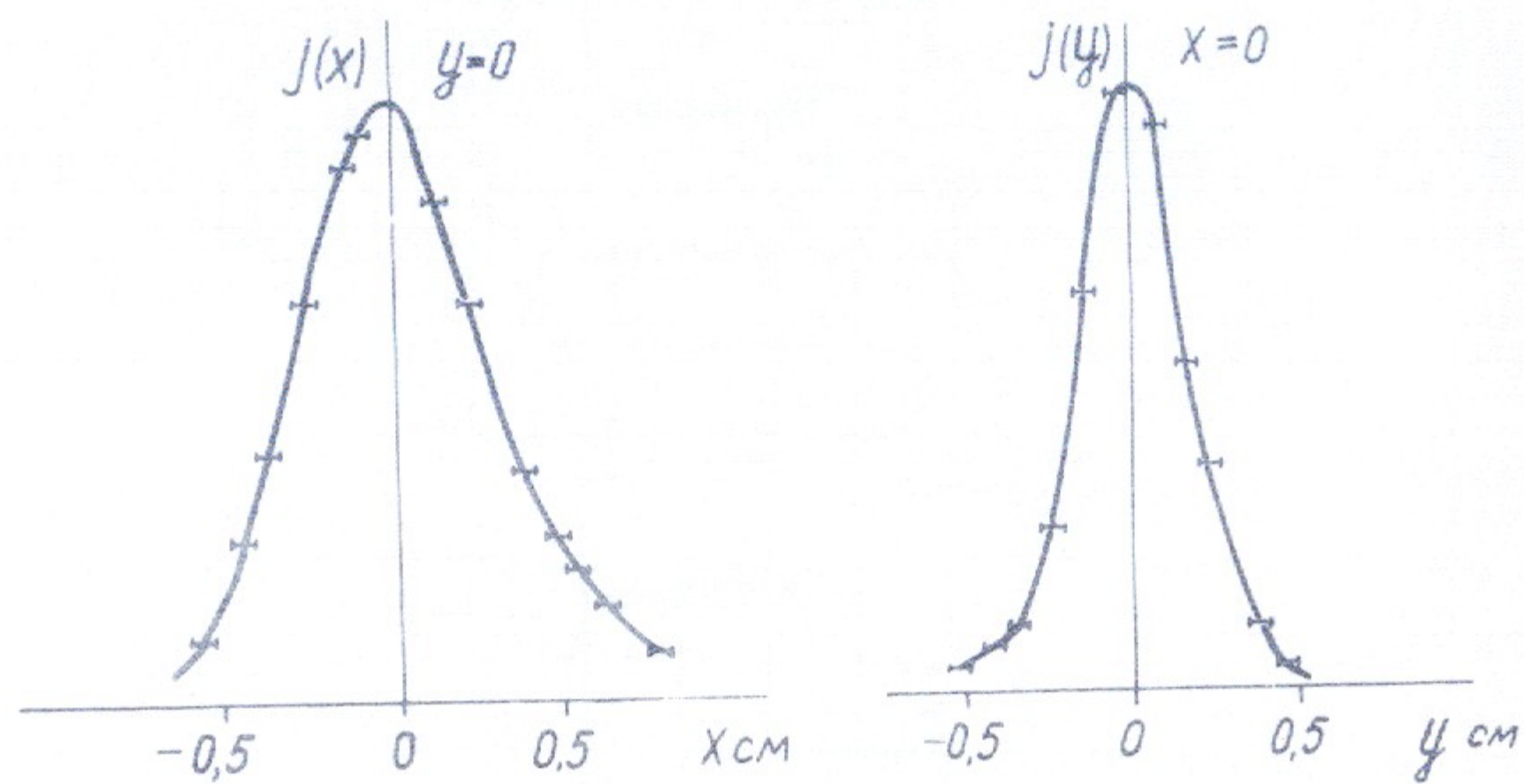


Рис.4. Распределение тока ионов H^- в выходном сечении пучка. Слева - распределение по параллельному магнитному полю направлению. Справа - распределение по перпендикулярному к магнитному полю направлению.

Работа поступила - 14 января 1977 г.

Ответственный за выпуск - С.Г.ПОПОВ
 Подписано к печати 17.11-1977 г. МН 02660
 Усл.0,7 печ.л., 0,6 учетно-изд.л.
 Тираж 200 экз. Бесплатно
 Заказ № 17.

Отпечатано на ротационте ИЯФ СО АН СССР